

TEPELNÁ POKHODA ČLOVĚKA

THERMAL COMFORT OF HUMAN BEING

- teplý stav interiéru, o kterém se uvnitř nevyrovnává, že jim není teplo ani zima →
- min. průměr počet nepohodlivých je 5% (rozdílnost nevelká, aktivita, větráním prostředí atd.)

neutrální
[kvalitativní, kvantitativní, praktická]

- zdravotní stav, aktivita, ...

lit. Prof. Fanger - Technical Review - ISSN 00072621 - Technical Comfort
[syn. roz. - internet - příručka]

Subjektívni faktory

Objektivni (kvantifikovatelné) faktory

- zdravotní stav
- rasa, pohlaví
- věk, stáří
- psychologický stav
- denní / noční doba
- hmotnost + tělo, přenosnost

- aktivita
- oblečení
- teplota vzduchu
- teplota povrchů
- proudění vzduchu
- vlhkost vzduchu

Termoregulační systém člověka

- hypotalamus (mozek)
- eozentrická regulace - core (jádru) vnitřní teplota člověka
- periferní regulace - různé T-kont. reakce - rychlost a zdroj / příjem tepla

$$s_{\text{opt}} \left(\frac{\partial T}{\partial t} + \overline{POT} \right) = \nu (\Delta T) + \sum Q_v$$

regulovatelné



(36 ± 3%) °C během celého dne holého
- průměrná tělesná teplota; ráno nejchladnější

- receptory - kůže, mozek, jiné neváhové

(kvalitativní 1000-10000 - specif. 100000 - specif. 1000000 - specif. 10000000 - specif. 100000000)

receptory na kůži - receptory chladu (citlivější) - kůže - slavnostně - 4 mK/s
- receptory tepla - 1 mK/s
- derivace čtení; pomalejší než receptory (jak uvnitř těla) (MUDr. Hengstler)
vnitřní nejsou derivace čtení

- ovlivnění tepla - generace, odnímání

generace tepla: 1 ÷ 10 W / kg hmoty → 1 W.kg⁻¹ - při základním metabolismu - nejmenší
zdroj energie, kterou člověk vytvoří (př. po jídle
v prsou a kůži)

- mozek 20W potěba

převod na m² → 1 met = 58,15 W.m⁻² 0,8 met → 8 met (tělo je oca 3 met)

- Odvod tepla - regulace - rychlost kůže - proudění; nedostatek energie - zmenšování

při tolu kůže ke končetinám
< 25°C vnitřní těla → až bezvědomí; vnější (končetiny až 17°C)

- proudění směna 1:10 (rozměr průřezu)

- ruce - nejdivně 1:30

43°C - jistě smrt (viz hypoxie při teplotě)

- kvas (zimou) → svalový tonus → zvýšení metabolismu, zdroj energie nedostatek kůže
- sklon k ztuhnutí - jasně nedostatek problémů (neúspěšné - fyzik. vyrovnání i svalů)

[oběhová - nejvíce smrt
- kůže 20 m/min
převod na m²
- tělo 10 m/min
nedostatek kůže

- Odvod tepla - odpařování (fokalizace je energeticky bohatá)

L a kůže

Odvod tepla

- Vypařováni' - difuzi' (mnoh) vypařováni'
 - pocení
 - dýcháni'

1g ~ vypařená energie = 2,43 kJ 4J ~ ohřívá 1g vody o více 1°C

- Sáláni' S - saldo (už'hození' - co x ztrá' a odebrá', ± náco, celkem → 0)
- Konečce M - metabolické teplo - neuvíme rekupeovat
- Vedení' RES - dýchácním teplo
- E - Evaporace - vypařováni'
- K - conduction - vedení' (na peci, v chládku)
- C - konečce R - sáláni' W - mechanická/metabolická práce

Podmínka rovnováhy $S = +M \pm W \pm R \pm C \pm K - E - RES$

- Stavováni' člověk x kůži - kůži máte stále zhruba 1HP (~735W)
- člověk oca 40 kP ~ 75W hrubý'
- účinnost člověka - atleti 20%
- rotoped 100W na kůžičci: metabolism 500W 400W → odvod teplem
- normální práce → na kůži máte zhruba 10W mechan. práce
- $W = N \cdot m$ 1kW - z rotoped 100kg za 1s
- přeměna tlm
- W - na rotopedu
- + N - chůze a kopce - dopravce kinet. energie (jednotka) (práce je dána hmotností a rychlostí)

Metabolismus minim 0,8 met lehká činnost 1 met; spav 1,5 m
 přibližně 2 met; těžká práce 3,5 - 4 met

1. Vypařováni' difuzi' $E_d = 3,05 \cdot 10^{-3} (P_s - P_a) [W \cdot m^{-2}]$

P_s - tlak nte' páry při teplotě povrchu těla
 P_a - parciální tlak vodní páry v vzduchu

Daltonův zákon - g'olief
 tlak smíšené' je součet tlaků

- Dalton. zákon → řík' se molekuly se neroz' (molekuly vo'j neroz' molekuly vzduchu)
- vodní pára nidi' jen vodní pára (jako z te' f'áma)
- voda v hrubi vypařeno 100°C → vypařeno
- měrná hmot' $P_v \approx 10^5 Pa$ → p'eme' skup v nad 100°C
 $P_v \rightarrow$ při nižší' teplotě se vypařuje
- a'le d'ívka zleech. vod' z p'it' → nidi' jen v'pá' páru
- v hrubi to nidi' celkový tlak → měrná 100°C
- poznámka se vypař' nidi' jen "jednotlivé' molekuly"

[skupina n'ová' vodou se ro'p'e a dá' pod studenou vodou → stále se vaří' té' p'd]

$P_s \rightarrow P_a$ - k'ová' přetlakem (k'ová' ~ 100% v'vlhlost → ohřívá měrná')

pravidelný p'ý ~ pravidelný teplo $1g \rightarrow 2,43 W$

$P_s = 256 \cdot t_s - 3373 [Pa]$ lineární. horní mez. kvůli kolísá'ni' teploty povrchu $T_s [°C]$

$P_a = \varphi \cdot 308,98 + 105,891 \cdot t_a - 2,35153 t_a^2 + 0,10895 t_a^3$
 rel. v'vlhlost t_a - teplota vzduchu $[°C]$
 (0 ÷ 1)

$E_d \sim 10W/m^2$ - typická hodnota (bez regulace)

regulace - vypařováni' páry (u člověka mláče) u h'f'et l'ne

hum' k'ová' = reaktivní odpor teplotní

- Počuv

$$E_{SW} = m_{SW} \cdot 2,43 \cdot 10^3$$

Sweet pri toj podu $9 \cdot 10^7 \cdot m^2$

Vypocuv za 1h a m^2 a \dot{c} 3kg \dot{c} p \dot{c} itov \dot{c} hodnota
dovola' $16g/m^2/100$.

more plati, tu \dot{c} a v \dot{c} e sp \dot{c} as'

(graxi - neodkryva', nepot \dot{c} me \dot{c} x mobil \dot{c}) \rightarrow dobre nav \dot{c} eno (pot nekaj)

- pocuv \dot{c} x bi \dot{c} e 25% tepeln \dot{c} ih z \dot{c} ed \dot{c}

- D \dot{c} el \dot{c} am \dot{c} - z \dot{c} del \dot{c} ka tepla: 1 - olu \dot{c} ev \dot{c} v \dot{c} aduc \dot{c} ku
2 - v \dot{c} l \dot{c} h \dot{c} ov \dot{c} ev \dot{c} v \dot{c} aduc \dot{c} ku

1) $L = 0,0014 \cdot H \cdot (34 - t_a)$ (nav \dot{c} erku 2500 \dot{c})

$W \cdot m^{-2}$ $W \cdot m^{-2}$ \hookrightarrow tep \dot{c} lota z \dot{c} del \dot{c} ovane' ho v \dot{c} aduc \dot{c} ku
 \hookrightarrow tep \dot{c} lota nade \dot{c} ovane' ho
 \hookrightarrow od \dot{c} por \dot{c} da' d \dot{c} im \dot{c} osti

nav \dot{c} et \dot{c} ak \dot{c} ne' $2,5 W \cdot m^{-2}$ v \dot{c} id \dot{c} ev \dot{c} ku = H
- naka' k \dot{c} iv \dot{c} ka' ov \dot{c} ota v $-10^{\circ}C$ ($400 W \cdot m^{-2}$ met \dot{c} ab \dot{c} ol. tepla)
(tepl \dot{c} im po olu \dot{c} ev \dot{c} v \dot{c} aduc \dot{c} ku nepot \dot{c} rebuje 25W)

2) $E_{Res} = 1,72 \cdot 10^{-5} \cdot H \cdot (5864 - P_a)$ - slab \dot{c} p \dot{c} tep \dot{c} lote $34^{\circ}C$ p \dot{c} tep \dot{c} lote z \dot{c} del \dot{c} ku v \dot{c} aduc \dot{c} ku
 $[W \cdot m^{-2}]$ $[W \cdot m^{-2}]$ $[Pa]$ \hookrightarrow perc. slab. v \dot{c} aduc \dot{c} ku p \dot{c} v \dot{c} aduc \dot{c} ku (90%)

[v \dot{c} el \dot{c} im - sp \dot{c} isov \dot{c} im, poc \dot{c} no -
poc \dot{c} et \dot{c} ovane' v \dot{c} e n \dot{c} er \dot{c}
d \dot{c} el \dot{c} am \dot{c} na j \dot{c} et \dot{c} il]

- naka' ov \dot{c} ta ... $\sim 36 W \cdot m^{-2}$

S \dot{c} aly - sp \dot{c} isov \dot{c} ev \dot{c} ev \dot{c} $K = \frac{t_s - t_{ce}}{0,155 \cdot I_{ce}}$ tep \dot{c} lota s \dot{c} aly

v \dot{c} el \dot{c} ov \dot{c} o od \dot{c} por \dot{c} ob \dot{c} il \dot{c} ev \dot{c} $I_{ce} [clo]$ $1 clo = 0,155 K \cdot m^2 \cdot W^{-1}$ jed \dot{c} not \dot{c} ka v \dot{c} el \dot{c} ov \dot{c} ev \dot{c} ev \dot{c}

- v \dot{c} el \dot{c} ov \dot{c} o od \dot{c} por \dot{c} s \dot{c} aly p \dot{c} er \dot{c} j \dot{c} et \dot{c} il od \dot{c} por

nef \dot{c} itov \dot{c} ka $I_{cl} = \theta clo$ s \dot{c} aly 0,1 clo k \dot{c} rop \dot{c} ij' ob \dot{c} il (s \dot{c} ot \dot{c} ky, b \dot{c} ilo, b \dot{c} il \dot{c} o p \dot{c} ov \dot{c} ij, s \dot{c} ev \dot{c} ij)
0,3 clo

- med \dot{c} ev \dot{c} o k \dot{c} iv \dot{c} ka' ob \dot{c} il \dot{c} (j \dot{c} og \dot{c} er. p \dot{c} iv \dot{c} el \dot{c} o) ... 1,5 clo

\hookrightarrow op \dot{c} aj' h \dot{c} ot \dot{c} \hookrightarrow p \dot{c} ov \dot{c} el \dot{c} s \dot{c} aly \hookrightarrow s \dot{c} red \dot{c} ev \dot{c} o s \dot{c} aly tep \dot{c} lota
ne \dot{c} er \dot{c} rad \dot{c} iant \dot{c} temperature

S \dot{c} al \dot{c} am \dot{c} $R = f_{eff} \cdot \epsilon \cdot f_{ce} \cdot \sigma [(t_{ce} + 273)^4 - (\bar{t}_h + 273)^4]$

σ - Stefan Boltzman
 ϵ - em \dot{c} isiv \dot{c} o s \dot{c} aly - (d \dot{c} iv \dot{c} s \dot{c} aly' c \dot{c} er \dot{c} ne) \rightarrow s \dot{c} aly s \dot{c} aly' c \dot{c} er \dot{c} ne (na m \dot{c} ik \dot{c} ro \dot{c} ov \dot{c} o)

f_{eff} - s \dot{c} al \dot{c} am \dot{c} i na s \dot{c} aly - v \dot{c} el \dot{c} ov \dot{c} ov \dot{c} ij' d \dot{c} iv \dot{c} el (s \dot{c} al \dot{c} am \dot{c} na s \dot{c} aly s \dot{c} aly' 0,696 \div 0,725)
 \Rightarrow p \dot{c} imer \dot{c} 0,71 s \dot{c} al \dot{c} am \dot{c} s \dot{c} aly'

f_{ce} - n \dot{c} er \dot{c} al \dot{c} am \dot{c} j \dot{c} et \dot{c} il na s \dot{c} aly
n \dot{c} er \dot{c} al \dot{c} am \dot{c} - z \dot{c} av \dot{c} itov \dot{c} ka' na tepeln \dot{c} em od \dot{c} por \dot{c} u I_{cl}

\bar{t}_h $t_h^4 = \sum p_{i,c} \cdot T_i^4 - 273$ - p \dot{c} oc \dot{c} it \dot{c} ev \dot{c} o o v \dot{c} el \dot{c} ov \dot{c} ev \dot{c} ev \dot{c} 4. mo \dot{c} er \dot{c} im

\hookrightarrow r \dot{c} it \dot{c} ka p \dot{c} ov \dot{c} el \dot{c} ka na c \dot{c} er \dot{c} ne (ne \dot{c} er \dot{c} k \dot{c} iv \dot{c} o σ to z \dot{c} el \dot{c} ov \dot{c} ev \dot{c} ev \dot{c})

(rad \dot{c} iant \dot{c} p \dot{c} ov \dot{c} el \dot{c} am \dot{c} j \dot{c} et \dot{c} il h \dot{c} ov \dot{c} el \dot{c} ka)

Konvekce

$$C = f_{ce} \cdot h_c \cdot (t_{ce} - t_a)$$

$$h_c = \alpha$$

$$h_c = 2,08 \cdot (t_{ce} - t_a)^{0,25}$$

$$\left| t_{ce} - t_a \right| \quad \text{abs. hodnoty!} \quad \alpha = \text{bládný}$$

$$h_c = 12,1 \cdot \sqrt{\text{Var}}$$

Nar - rel. hodnota indukční vlny' ctovetka (ten x vetri)
abs. hodnota pro α !! α nikdy bládný
[m.s⁻¹]

Saldo - pokud možno Φ - podružná nutná - nikoli potlačující (ne na korekci)

Poboda musí respektovat ještě 2 rovnice, a to:

1) $t_s = 35,7 - 0,0275 (M-W)$ [°C] } bládný rovnice pobody

2) $E_{sw} = 0,42 (M-W - 58,15)$ [W.m²]

ad 1) přesunou-li níže \Rightarrow pokud tepla má být chladnější

ad 2) potit z chodu x mil. tímto způsobem

PHV vzorec potit:

0.3.2001
02

Základní nerovnice

$$\begin{aligned} PHV = & 0,303 \cdot e^{-0,36M} + 0,028 \cdot ((M-W) - 3,05 \cdot 10^3 (5733 - 6,99 \cdot (M-W) - p_a) - \\ & 0,42 (M-W) - 58,15) - 1,7 \cdot 10^{-5} \cdot M \cdot (5867 - p_a) - 0,0014 \cdot M \cdot \\ & \cdot (34 - p_a) - 3,96 \cdot 10^{-8} \cdot f_{ce} \cdot ((t_{ce} + 273)^4 - (t_r + 273)^4) - \\ & - f_{ce} \cdot h_{ce} (t_{ce} - t_a) \end{aligned}$$

$$\begin{aligned} f_{ce} \cdot t_{ce} = & 35,7 - 0,028 \cdot (M-W) - 0,955 \cdot I_{ce} (3,96 \cdot 10^{-8} \cdot f_{ce} \cdot ((t_{ce} + 273)^4 - (t_r + 273)^4) \\ & + f_{ce} \cdot h_{ce} (t_{ce} - t_a)) \end{aligned}$$

PHV = Φ = tepelná poboda

-3 velká zima +3 velká tepla
lidem přijde...

PPD Probable Percentage of Diss...

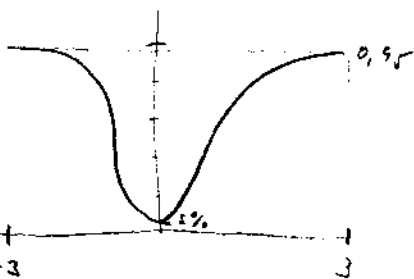
EV (ca 15%)
nepoužitelná

Symetrické oslabení

(jedna hodnota < druhé nima \Rightarrow problém průměru = střed)

-procedura...

PHV 12 - kromě



TEPELNÁ ČERPADLA

Jug. 11. 2016

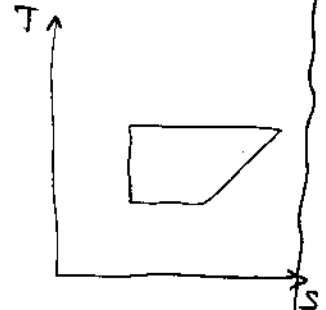
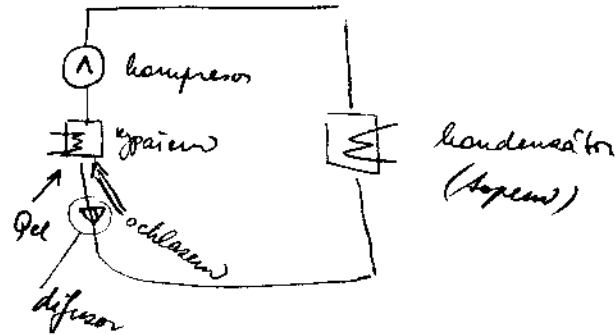
- bez tepelných zdrojů!

Zákon zachování

- ze slabšího potenciálu energie → silnějšího potenciálu energie
- mnohokrát více na malém množství × malověrný množství na velkém množství

$$Q_1 + Q_{el} = Q_2$$

/
 dodaná energie
 /
 uvolněná energie

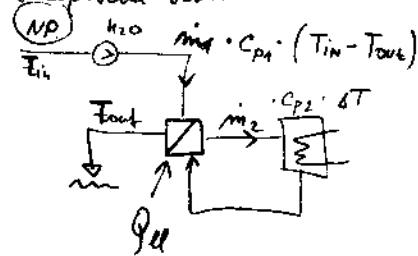


průběh - li u 1) 14' měření
 teplo, pak a měření u 2) měření ochlazení
 u kondenzátoru teplo

si zlepšujeme

odtáh NP vody → do tepelné čerpadla + el. energie
 → opět uvolníme → uvolnění tepla

Princip voda-voda



Max. otevírání vody na 160°C

zlepšení voda a příměsí max. rozdíl 2 K nad teplotou
 přehřívání (by měl 2°C)

- množství pro teplotní čerpadla jako chladičové zařízení
- ledová plocha chlazení o polovinu větší (např. čerpadlo - větší křehký pod bod mrazu)

$$m_1 \cdot c_{p1} \cdot (T_{in} - T_{out}) + \frac{Q_{el}}{\eta} = m_2 \cdot c_{p2} \cdot \Delta T$$

Qel - jako mech. energie (z → 1) ⇒ Qel

$$Q_{el} = \epsilon \cdot P_{el} = m_2 c_2 \Delta T \epsilon = \text{tepelný faktor (závl. charakter celého zařízení)}$$

$$\epsilon = \epsilon(T_1, T_2, \text{geometrie zařízení})$$

ε - na jakou měřila, z měření (rozproud × protiproud)

System Voda-Voda

$$\epsilon_{v-v} \in (3,5 \div 5)$$

ε ↑ ⇒ větší využití tepelné energie

↳ podmínky realizovat

- odtáh se speciálními zdroji do 2°C (studny, rybníky)
- odtáh se proudícího zdroje minimálně 2 l/s odt. proud.

Sy. Zlaté - Voda

- vhodné na realizaci

- ekonom. problém (hrady pod povrchem do hloubky 1,8 m)
 měřím (čl. voda nebo gýbl + solanka)

- rozměry hloubky 80 cm × 80 cm

(300 ÷ 800 m hloubka)

- dostatek geotermální energie

- množství proud. tepelné energie → plocha povrchu

- ve - dostatek hloubky velkým křehkým systémem

1000 ÷ 1500 Kč/m

- nejlépejší a nejdražší

200 ÷ 400 m

USA: System Vzduch-Vzduch

- prirodni media (zohad teploho okolneho vzduchu potratim)

$E_{V-V} (3,5 \div 5)$

$E_{Z-V} \approx 6$ (6-maximum)

- vhodne' pre neschlivanu teplotu v letnom roku

$E_{A-A} (1,8 \div 2,8)$

Vzduch-Vzduch

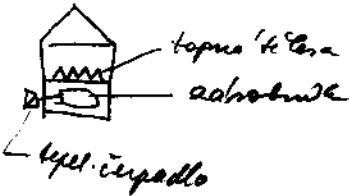
System Beton-Voda

- akumulacia tepla z pohl'adajicim NP tepla

beton - ve fazi'ch; so'kladach

- energeticky' plochy

- slunce \rightarrow akumulacia do betonu z pohl'adajicim NP



Prilim' u'pov' charakterizaciu' su'ce' topny' faktor - zima' nastledy.

(pod 2m podla'ba' Bati'ch' stradu)

Prilim' 130m² 390m³ - obkruh' pohl'adajicim NP
 115 tis. ko' - regul. montaz'
 160 tis. ko' - regul. montaz'
 80 tis. ko' - hotel.

Prilim' 86V 220m² \rightarrow had 400m
 1,8m hlubka

5400kW/rok 1 ko' / kus tepla

radik' je splacen' za 4 roky (80 tis.) realizuje' Fiat

Prilim' elektro-motom cirkulacia do 10kW

Spolehlivost rad'acim - neustanne' (nepom' skusenosti; stale nove' zroty)

Kombinacia s HDO (kyloduvicim' kruzim)

$C = 6,8 \text{ kJ/m}^3$
 $H = 38 \text{ MJ}$

$1,6 \div 1,7 \text{ kJ/kWh}$

najvi's HDO najvi's el. energie 1,2 kJ/kWh

HDO - 4h \div 17h volna' do do'vka
 7h - jedna' do'vka

Digitalni' merac' spotreby (meraju' to m'no' fazi' u' m'ry)

CR - teplota celodenneho extrému -12°C vprava' lobac' (-10°C; -15°C)

(v leti chlazen' teply'm cirkulacim \rightarrow velky' odber' vlhkosti z vzduchu \rightarrow nutna' klimatickaja (vzduchovacia))

Prilim' vlhka' z pohl'adajicim suchost - ovi' rad' stepu'

Teplovodna' me' zloz'ena' z poradenim' + max. 4°C!

v teple' rad'acim' vlhkosti rad'acim' avsak' z pohl'adajicim teploty' z pohl'adajicim i teplota' vzduchu bodu \rightarrow nekonstantny'

NESTACIONÁRNÍ SDÍLENÍ TEPLA V OBÝTNÝCH MÍSTNOSTECH A STACIONÁRNÍ

a) lumped-heat-capacity-systems - případy, kdy lze určit sdělení tepla stacionárním způsobem "diferenciální rovnice (ambito parciálních)"

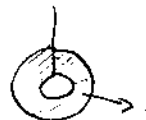
účel platí: $\rho c_p \frac{dT}{dt} = \rho c_p \left(\frac{\partial T}{\partial t} + \vec{v} \cdot \nabla T \right) = \nabla(\lambda \nabla T) + \sum Q_v \quad \int \dots dV$

netýž: $V \rho c_p \frac{dT}{dt} = \sum P_i$ Př. Cu kulička - v m' je otvor, na povrchu T okolní T₀

celá má teplotu a řešíme tuto rovnici

→ je-li toto splněno, jako a)...

možná dekompozice → řešení soustředěným parametry



na povrchu T okolní T₀

0,5 kusů, v' l' = 300 W/K

ΔT mezi povrchem a místem uvnitř tělesa ~ 0,01 K

Lze tedy, když lze minimálně rozdělit systém na části:

dobře tepelně vodivé + velkou tepelnou kapacitu nebo teplotu: dobře míchané

malou tepelnou vodivost a malou tepelnou kapacitu

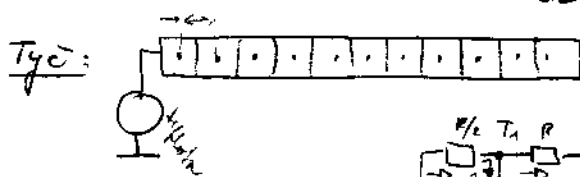
(1 cm ~ F (hauze 0,1 ~ 1 cm) ~ 1 pF)

Objem budov - vypočítáme s míchaním pomocí přirozené konvekce a polhem lidí → jedine teplota

- kolem stěn folie se má voduš poměrně velkou rychlost
- $\frac{1}{2} \rho v^2$ → dynamický tlak je proměnlivý ve stat. (vychýlujeme vlnu → směrná rychlost pole. (jako opoz.)
- rychlost prvního rážky kalutivou (na povrchu teploty stejná rychlost jako povrch)
- kinet. energie - hustota ρv^2 ; dynamický tlak → stat. tlak → systém folie $v \downarrow \Rightarrow p \uparrow \Rightarrow$ star. nec \Rightarrow Teplota $\uparrow \Rightarrow$ oběti voduš → sdělení tepla ožkoval poměry; (konv. m'koví, d'v'ic)

$\frac{\alpha \cdot V}{S \cdot \lambda} < 0,1$ Podmínka, když platí, že ^{l'g} úřad nesaj' má rozloženou teplotu (pro technickou přesnost)

$\frac{\alpha \cdot k \cdot d^3}{h_s \cdot \lambda \cdot d^2} = \frac{k_v}{k_s} \cdot \frac{\alpha \cdot d}{\lambda} = \frac{k_v}{k_s} \cdot \frac{d}{\alpha}$
 $\frac{d}{\alpha}$ - sdělení tepla (konv. a)
 $\frac{\alpha \cdot d}{\lambda}$ - vodi vod. st'g konv. g d
 $\frac{k_v}{k_s}$ - telesa



sdělu l, rozdělen na n-d'č, a b' b'g jako lumped kapacit'g

Volba n'v' d. ro'k'ima

1. uzel $C \cdot \frac{dT_1}{dt} + \frac{1}{R} (T_1 - T_2) - \frac{1}{R_2} \cdot (T_0 - T_1) = 0$

$C = \frac{\rho c_p \cdot V}{n} = \frac{\rho c_p \cdot S \cdot l}{n}$
 $R = \frac{l}{\lambda S n}$

2. uzel $C \cdot \frac{dT_2}{dt} + \frac{1}{R} (T_2 - T_3) - \frac{1}{R} (T_1 - T_2) = 0$

$\rho c_p \cdot S \cdot \frac{l}{n} \frac{dT_i}{dt} = \frac{n \lambda S}{l} (T_{i+1} + T_{i-1} - 2T_i)$

$C \frac{dT_i}{dt} + \frac{1}{R} (T_{i+1} - T_{i-1}) - \frac{1}{R} (T_{i-1} - T_i) = 0$

$\rho c_p \frac{dT_i}{dt} = \frac{T_{i+1} + T_{i-1} - 2T_i}{(\frac{l}{n})^2} \cdot \lambda$ (2. člen u'v' c'p'ov' g. folie a kalutivita)

$C \frac{dT_i}{dt} + \frac{1}{R} (2T_i - T_{i+1} - T_{i-1}) = 0$

diskrétní aproximace, v' case ob'v'v' d'f. nec

KUSTONOST - usto'lene

1) vodoruk - proud

- dotok tepla vzhledem k teplotnímu rozdílu, dochází k vedení tepla skrz stěnu a také tímto způsobem
pocit stěny (aktivně uvažovat, že poměr)

$$\sum m_i c_p (T_{ev} - T_{vin}) + P_k - \sum_{i=1}^n S_i \alpha_i (T_{vin} - T_i) = 0$$

m_i c_p (T_{ev} - T_{vin}) - objemová měrná teplotní kapacita
P_k - konvekční dotok
S_i α_i (T_{vin} - T_i) - tepelná ztráta

- vodoruk se umějí jako průtoky (rozdělení proudů celou strukturou - zátěž)

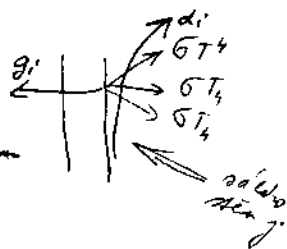
$$\alpha_i = 2,076 \frac{|T_i - T_{vin}|^{0,3337}}{|T_i + T_{vin}|^{0,0791}} \quad \alpha [W \cdot m^{-2} \cdot K^{-1}] \quad T [K]$$

α = 8 mm⁻¹
α = 23 mm⁻¹

P_k - vzhledem k rozložení otáček Normu měříte i rozložení → jímání tepla

2) povrchy i-ty povrch: $S_i (\sigma T_i^4 + \alpha_i (T_e - T_{vin}) + g_i \cdot (T_i - T_{ei})) - \sum_{j=1}^n S_j \sigma \varphi_{ji} T_j^4 = 0$

! stěny bereme černé (černo) (optický jev bílé, ale absorbuje jako černé)



1) výkon z povrchu i-ty stěny (strukturní role)

2) do mě kowder

3) odvod obrz stěny na druhé straně

φ_{ji} - konfigurace faktor - (0,1)
maximální množství $\sum_j \varphi_{ji} = 1$

$$g_i = \left(\frac{1}{\alpha_{voda}} + \frac{d}{\lambda} \right)^{-1} \approx k^{-1}$$

T² [K]

Výpočet se zpočty s obry (je možná bytý odpo a směm z počít)

Chci-li dobrá topit (tepelná pohoda → příjdem další informace):

Tepelná pohoda - $t_a + 273 = T_{vin}$
- $(\bar{T}_r + 273)^4 = \sum_{i=1}^n w_i \cdot T_i^4$

w_i - konfigurace faktor + stěna - čísel

P_k → doba měnit *t_a* 1)
 splnění 2. rce redaktorom 2) } →

Zvolit druhé *t_a* *t_r* lze s dít pouze 2 protizávislými obry (kdy i jeden druhým topit dostal na obě strany)

↳ 2 regulátory (pro konkrétní avolnou *t_a* a *t_r*)
t_a a *t_r* - vzhledem (to dít co regulát a *t_r* regulovat)

Rěšení: α -nelinearity T -4. mocnina

(kudam-li n i ková doh/pom odhad → vedizná výsledku)

odhad - volba hodnoty *T₀* *T₀* *T₀* → spočít α ; lineárně rozložení (metoda T^4 pomocí $T_0^4 + 4T_0^3 \cdot (T - T_0) = T^4$)

k odhadu (α a T_0) α jako konst. → rovnice lineární rovnice → řešení → spočít α , T_0 , T a znovu

koeficienty
- řešení existuje a podle jedno

Stacionárně lze řídit celou

Nestacionární řešení

1) Válcek $m \cdot c_p (T_{ev} - T_{vín}) + P_k - \sum_{i=1}^n S_i d_i (T_{vín} - T_i) = m \cdot c_p \cdot \frac{dT_{vín}}{dt}$

Ruční úloha → ručnímu topení (P_k) ⇒ roste (kladná derivace) m - konstanta (včetně množství (střížka))

poj. síle a počátečních podmínkách dána → rovnice je adekvátní dif. rovnice (když postupně, ne najednou).

F. k. rovnice platí všude

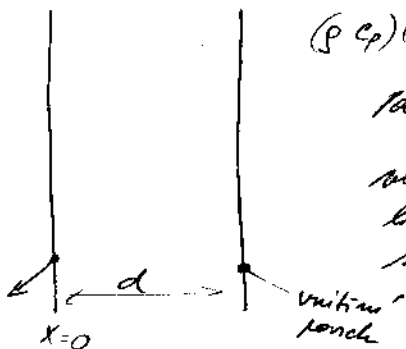
Řešení celku je po kusech

2) Stěna stěna

$(\rho c_p)(x, T) \rho c_p(x, T) \frac{\partial T}{\partial t} = \frac{\partial}{\partial x} \left(\lambda(x, T) \cdot \frac{\partial T}{\partial x} \right)$

1. podmínka: $T(x, t=t_0) = f(x)$ konkrétní teploty (uvážení)

2. v kódu před kladnou dobou → není zřejmé, kolik → volba libovolné poj. podmínky → na úroveň kon. kř. času dobu se stav předtím kapomou



1) - stěka má? 2) d'ano 3) gi ne, ale derivace podle x první strana rovnice (ad 2) stac. poměr):

$S_i (\delta T_i^4 + d_i (T_i(d, t) - T_{vín})) + \lambda \cdot \frac{\partial T_i}{\partial x} \Big|_{x=d, t} - \sum S_j \epsilon_j T_j^4 = 0$

Protop teplo dovnitř pomocí Fourier. rovnice - protop dovnitř - konch (z tepla plachta) - sítě dovnitř akumulovat teplo, množství, 5 to má / nejednou

forma - zpočítá teplo budov (točte rovnice) čerpaní (točte rovnice) jako učeb. !!

uvážení poměr: $\frac{dQ}{dt}$ poměr (x=0)

- uliv Q od slunce

Text: internet

TERMODYNAMIKA VLHKÝ VZDUCH

20.3.2007
04

Obr. 4 - pro dělení 1. věty termodynamiky; termodyn. rovnice je ověřena na celou řadu reálných → v oboru se nemění a látkou ve dt

Izolovaný systém: $dQ = du + pdv$ $v = \frac{1}{\rho}$ du - vnitřní měrná energie (pro 1 kg látky)
přivlečením tepla při libovolném změně objemu Obr. 1 pdv - měrná (absolutní) práce
(ne práce je + jediné a z druhé strany stejný tlak → řádově síla → řádově práce)

Stavové veličiny p, v = R·T - veličiny schopné definovat stav

Další stavové veličiny u - energie; entalpie h = u + pv $dQ = dh - vdp$
1. věta termodynamická (2. formulace)

- 1. formulace - děj v konst. objemu $dQ = du + pdv$ - měrný je a pracovní látka
- 2. formulace - proces při stálém tlaku $dQ = dh - vdp$ - změny je a pracovní látka
- ve 2. formulaci - je schována využitelná práce - vdp = technická práce (změna látky → práce vapi pára uvořena a odfouká)

1) $g = u + pv - Ts = h - Ts$ Helmholtzova funkce
2) $f = u - Ts$ Gibbsova funkce
Funkce reálné vel. jman ve fyzikální chemii - chemické zajištění schopnost látky chem. reagovat

2) reakce v uzavřeném objemu Helmholtz

1) Gibbs - schopnost reakce přetáhnout (je-li minimum → pak je možná reakce přetáhnout)

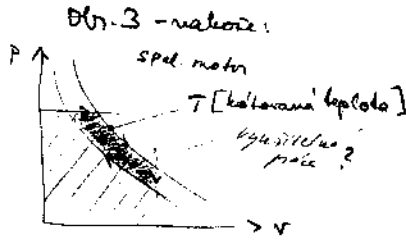
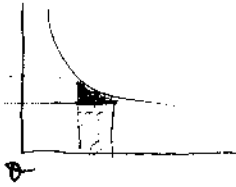
ming - konci' stav v pr'otocin'm syst'ém
 min h - konci' stav v rovnováh

- normovaná funkce g, h , na
 mětku teploty a tlaku

minimum \rightarrow stupě-li sealesp'it 1, pak konce.

Rovnice g, h - pro partikulaty v rovnováh

Technická práce na obr. 1.

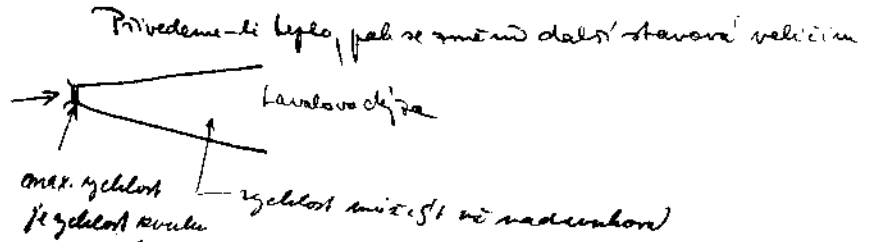


Stirlingův motor - významný je l'itka (j'měnit'el) (v'j'měna tepla)

Obr. 3

$$\frac{dg}{T} = ds = c_p \frac{dT}{T} + p \frac{dv}{T}$$

Při prouděním a l'atav'ny'ch d'ějích



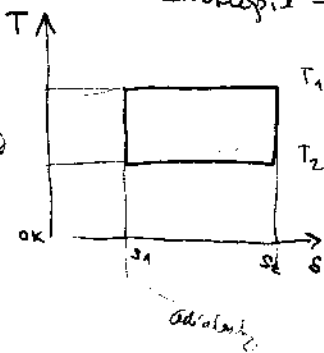
Teplu' sm'it v'erm'm - \neq st' at' v'erm'm v'erm'm (j'měnit'el)

Ve vrat'el'ch entropie neklesá a v' nevrat'el'ch roste
 (např. chlazením d'ějích klesá entropie!)

2. VTD Ve vrat'el'ch procesech se entropie neměná a v' nevrat'el'ch procesech roste \Rightarrow
 platí jen pro cyklické procesy

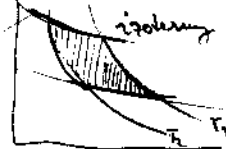
V'šich stav. velič'í v' cyklu \neq se stejn'ím p'os. a koncov'ím bod'ě' v'šich velič'í' at' na
 entropii: mnohá st' stejné

Entropie - dobrá pro měření' v'ýkonnosti syst'ém



Testovací diagram pro tepelné stroje

OK (OK - ekonomická - hospodárnost v'erm'm)



$$pV = nR \cdot T \quad pV = RT$$

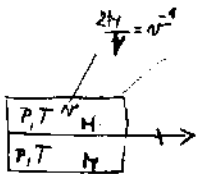
Intenzivní velič'í - nerepresenty' se s'čítavou l'itkou T, p, s

Extenzivní velič'í - s'čítavá (množství velič'í) $\rightarrow h, h, S$
 \rightarrow av'it' se

Termodynamika - Termomechanika Termomechanika \leftarrow Termostatika
 Termodynamika
 nauka o s'čítav'ém teple (reáln'í
 i m'at'ě' a p'ív'om' l'itky, difúze atd.)

Inverzibilni Termodinamika (reversibilni, nerovnovazni stanje)

Daltonov paradox



Gibbinov zakon:

$$\frac{\partial H}{\partial V} = \sigma^2 \quad p_{g1}, p_{g2}$$

Posmieszni plini (izjed plini, $R_1 \neq R_2$) → entropija varuje, i.čast entropije → plin 1 → se vrtel mezi molekuli plin 2 a naopak
 Plinov konstante → participuju, ne vrtelu pro smesu entropie!

Prilpad $R_1 = R_2$ → varit entropie dan bude → reversibilni proces ⇒ $s \uparrow$ (reversibilni proces → molekuli nese rotit).

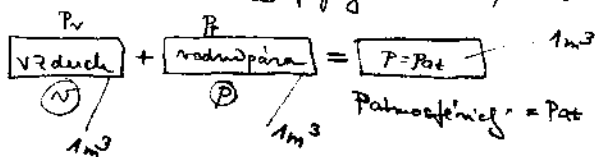
Daltonov paradox → entropie musi varit Obr. 5

Smesni plin

tekučina - ve do teče (i kapaliny o vztahiny)

kapalina - Newtonova Ne Newtonova

vdusny < kapaliny
 vdusny < kapaliny pliny
 vdusny < kapaliny plina



$$P = p_v + p_p$$

$$p_v, p_p < P < P_{at}$$

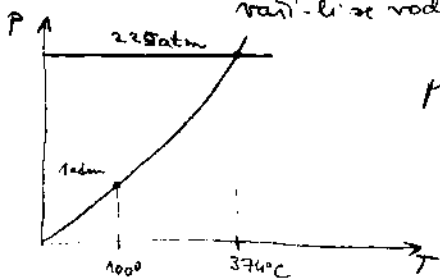
p_p - parcialni tlak vodni pary

p_v - parcialni tlak vzduchu

Vodni para

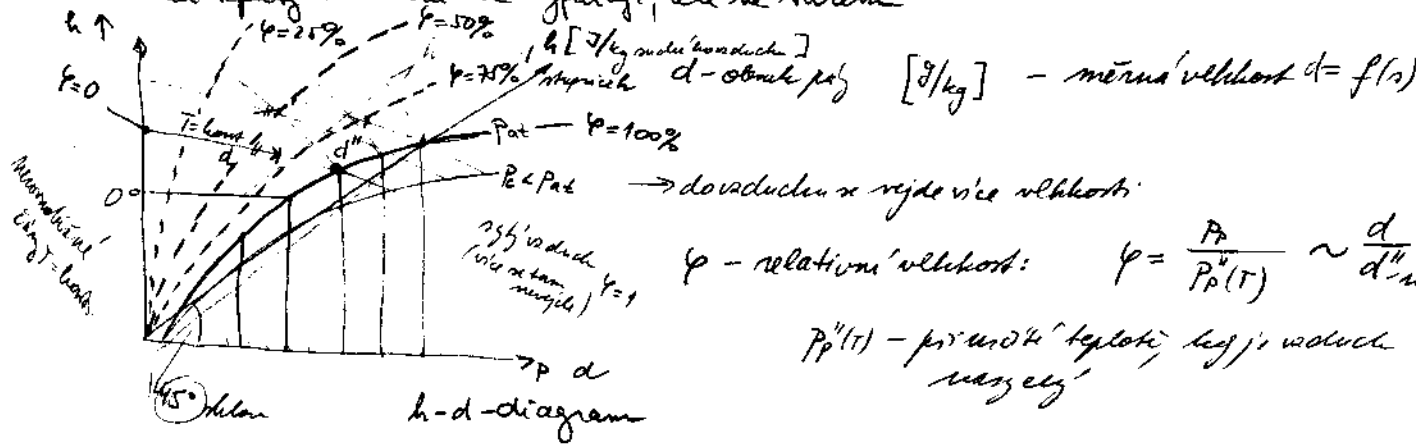
varikuje, kdyz namme vodu a pribliznou teplotu

van' - li se voda → para nad hladinou ma tlak obeti' (musi valnetit obeti')



pro $P > P_{krit}$ - pricta'va existovat rozdil mezi param a vodou →
 → ve vztahu v param

Para - sa tepoty $t < t_{kr}$ se vyparuje, ale ne varem



ϕ - relativni vllkost: $\phi = \frac{p_p}{p_p^*(T)} \sim \frac{d}{d^*}$

$p_p^*(T)$ - pr'votni teplota, kdyz vodu vyzevy

- relativni vllkost + teplota →

- vztah vzduchu + izoterma → fouli'm' jay do vzduchu → jak am'na pale' →
 poinoterme (krovn nad m') → dostaneme se nat na boue
 (peru vti'kovani) → ulevnoste teplota, ale vllk' vzduchu

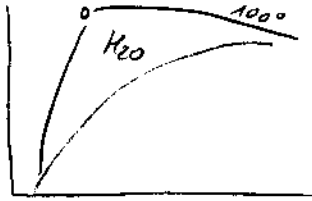
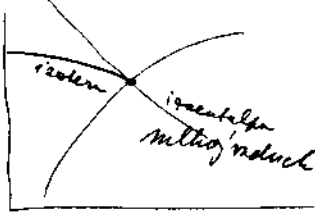
- vti'kovani studeni vof do vranu (m'ri'na teplota vti'kovani vof ideo'kue)



Adiabatická pračka (voda by se rozšířila - proudění vzduchu) →
 → přiblíží protěže po izoentaltě

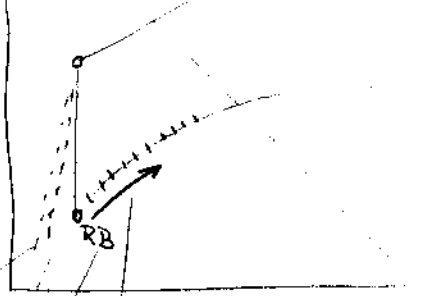


Vstříknutím kapek vody do vzduchu



izotermie na křivce sání a postupuje stále po izoentaltě

Chlazení vzduchu vzhledem k stavu vzduchu



- vzduch přes výměník tepla

- chlazením vzduchu a vlhkost
 nepřítomnost (přítomnost)

duch kapající měření vlhkosti

Ob. 7

přítel procesu chlazení

Room' Bod

Výmnožování vzduchu sorbentem

- adsorbce - mociv na kapilární

kondukcí: $\Delta p = - \frac{2\sigma}{r}$ podle tenze
 povrchové napětí σ a poloměru r

σ povrch. napětí kapaliny

- mlika gel - problémy s kapilární
 kondukcí vlhkosti uměle

kapitla a gravitační účinky

0 + M

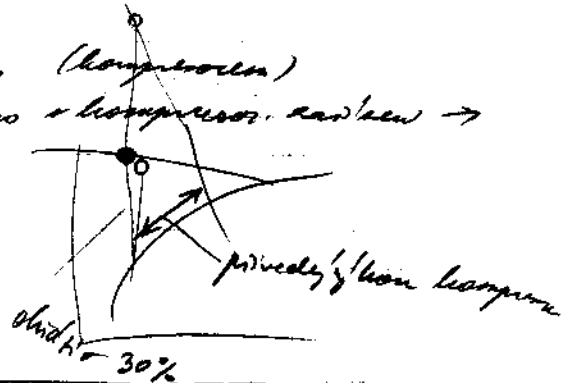
- absorpce - jde do látky sorbentem

- adsorpce - jde na povrch sorbentem

Odvlhčování vzduchu chlazením a kompresí (komprese)

- odvlhčování tepla (voda se odpařuje) → chlazení + komprese vzduchu →

získání chladu (střed 27-33°C)



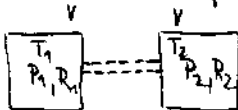
27.3.2001

05

Daltonův parador

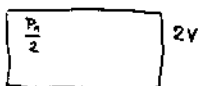
$P_1 + P_2 = P_{\text{celk.}}$

R, T, P



smíšený plyn

$P_1 \rightarrow$ posunout \rightarrow rozšířit $\rightarrow 2V \Rightarrow$
 $P \rightarrow P/2$



(12)

(15)

$$\delta q = dh - v dp$$

$$ds = c_p \cdot \frac{dT}{T} - v dp \cdot \frac{1}{T}$$

$$p \cdot v = R \cdot T$$

$$p = R \cdot T \cdot \rho$$

$$s = \frac{p}{RT}$$

$$ds = c_p \frac{dT}{T} - R \frac{dp}{p}$$

izotermické $\Rightarrow ds = -R \frac{dp}{p}$

platí pro oba plyny

$$ds_{sm} = -2R \frac{dp}{p}$$

celkový přírůstek

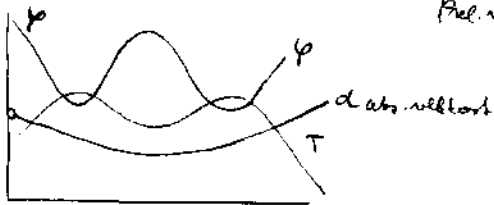
dp (je záporné)

Změna entropie teploty, množství, dokud nebude shodný se stavem.

Směšování vzduchu s různým tlakem

$h_{(1+2)}$ [$J \cdot kg^{-1}$] vztaheno na svůj vzduch (s tím se nic neděje)
 d [g/kg suchého vzduchu] Průl. vlhkost

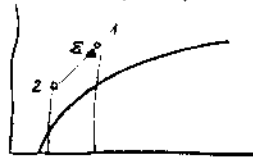
extenzivní veličina zachována



Základní bilance [kg] [J/kg]

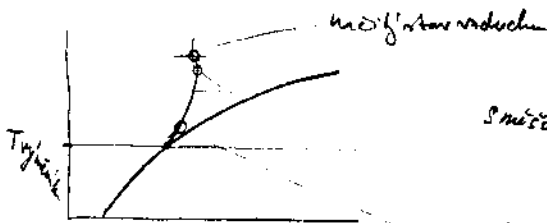
$$M_1 \neq V \rho_{d,1} !$$

$$M_1 \cdot h_1 + M_2 \cdot h_2 = (M_1 + M_2) \cdot h$$



$c_p \rightarrow c_{pa}$ - vzduch
 c_{pp} - voda

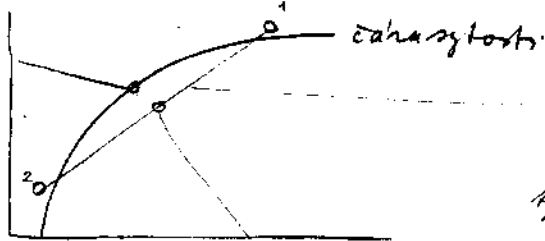
vzduch



Směšovací přírůstek (teorie, hypotéza)

Zdraví na směšování poměru

je-li proudění a sponu kula mění vnitřní
 a velmi kapacitou volně 'g' mění (přesně)



je-li proudění pod čarou zvlhčování?
 (nebo 'le' na T)

Hydratační kapacita, které jsou

To, že se chová od plynu závisí na relativní vlhkosti okolí!

Tepelný tok pod formou difúzního toku.

Větší se zberíme prachu měřte ved' vpravo (+tepelný tok)

$$Q_E = Q_{\text{konvekce}} + Q_{\text{radiace}}$$

anemický proudění konvekce

Founer-Kirchoffova rovnice

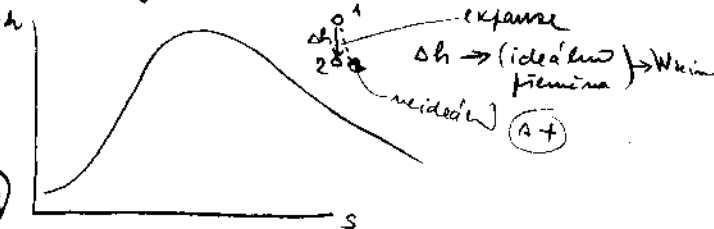
$$\rho c_p \cdot \frac{dT}{dt} = \text{div}(\lambda \text{ grad } T) + \sum Q_{in} \quad [W/m^3] \text{ rovnice energie}$$

$$\delta q = dh - v dp$$

NEFK rovnice - neodborně nic, co nemá plyn

Eulerova rovnice \rightarrow

Lagrangeova rovnice + obsahem a kinetickou energií: $\delta q = dh - v dp + W_{kin}$



13

hustota toku

$$q_E = q_{E1} + q_{E2} \Rightarrow q_E = q_{E1} + q_{E2} = \alpha(T - T_s) + \kappa \cdot \beta_c (c - c_s) \rightarrow$$

β_c - součinitel přestupu látky vztahující na koncentraci [kg/kg]
 c - koncentrační koeficient [$\text{kg} \cdot \text{m}^{-3} \cdot \text{s}^{-1}$] kinematická tok
 κ - ujemné teplo [$\text{J} \cdot \text{kg}^{-1}$]

pro koncentraci látky je hustota chlazena $\Rightarrow c \rightarrow \rho$

(velmi málo vody)
 \rightarrow řízená hustota koncentrace

$$g^* = \frac{P}{RT}$$

základní
 Fourier: $q = -\lambda \text{ grad } T$
 Fick: $m = -D_c \text{ grad } c$
 transportní difuzní tok
 konst.

$$= -D_p \text{ grad } p$$

měrná vlhkost

$$d = \frac{R_a}{R_v} \cdot \frac{p_d}{p_{\text{atm}} - p_d}$$

vlh. koef. vodu / vlhkost / pára

$$\hat{=} \frac{R_a}{R_v} \cdot \frac{p_d}{p_{\text{atm}}}$$

koncentrace je d na povrchu

$$q_E = \alpha \cdot (T - T_s) + \kappa \cdot \beta_d (d - d_s)$$

$$h - h_s = c_p \cdot (T - T_s) + \kappa \cdot (d - d_s)$$

$$Sc (\text{Schmidt}) = \frac{\nu}{D_c} \hat{=} 1$$

$$\Rightarrow Le (\text{Lewis}) = \frac{Pr}{Sc} \hat{=} 1$$

Vodní pára je málo

Pr (Prandtlovo číslo vzhledem) $\hat{=} 1$

$$Pr = \frac{\nu}{\alpha} = \frac{\text{viskozita}}{\text{tepelná vodivost}}$$

Trojná analogie

Lewisův poměr $Le = \frac{\alpha}{A \cdot c_p (s,d)}$
vlhkost vodu

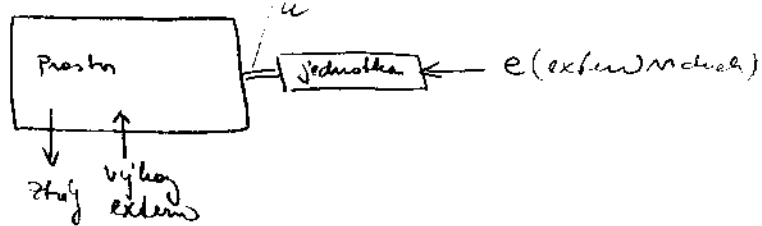
$$q_E = \beta_d (c_p (T - T_s) + \kappa \cdot (d - d_s)) = \beta_d (h - h_s) \quad \text{Merkelova rovnice}$$

Pro přenos tepla a látky mezi vodu a vzduchem je hlavním spádem rozdíl entalpie!

Př. klimatizace v jedné místnosti

$h-d$ diagram informace pro úpravy ohřevu

1) Tepelná - vlhkostní bilance



Fourier - Kirchhoff

$$\rho c_p \left(\frac{\partial T}{\partial t} + \vec{v} \cdot \nabla T \right) = \lambda \nabla^2 T + \Sigma Q$$

Rovnice difúze

$$\frac{\partial \rho}{\partial t} + \vec{v} \cdot \nabla \rho = D_p \nabla^2 \rho + \Sigma R_v$$

sum reakcí v objemu

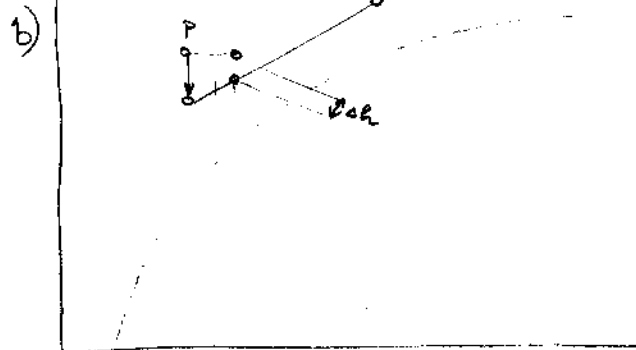
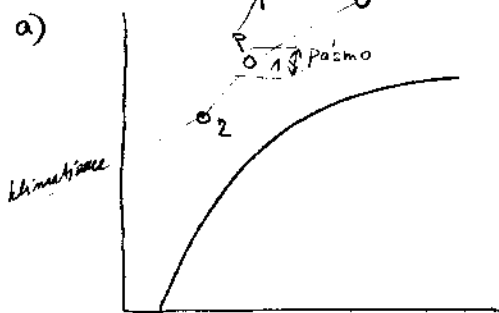
Gaussova věta vše lze zintegrovat

(rovnice pro bod \rightarrow integrálem pro celou oblast)

$$\int \vec{v} \cdot \nabla T$$

$$\text{Gaus: } \int_V \text{div } \vec{A} dV = \int_{S_V} \vec{A} \cdot d\vec{S}$$

2) h-d diagram:



b) trubky odvíjí

$k = 22 \text{ W} \cdot \text{m}^{-2}$
 $S = 20 \text{ m}^2$
 $T_s = 70^\circ\text{C}$
 $T = 20^\circ\text{C}$

Histnota chladiace

$\Delta h \cdot M_s = k \cdot S \cdot (T_s - T)$
obv. h' / kladná / kladná / kladná / kladná / kladná

Vodní chladič (trubkami potáhlá voda)

$T_{V1} = 3^\circ\text{C}$

$T_{V2} = 7^\circ\text{C}$

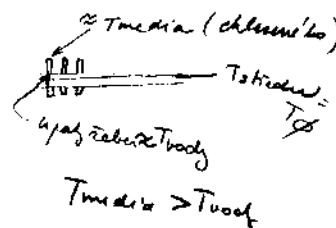
účinnost chladiče $\xi = 0,8$

$k(\text{medi}) = 24$

$\alpha(\text{na straně vzduchu}) = 45 \text{ W} \cdot \text{m}^{-2} \cdot \text{K}^{-1}$

$S = 30 \text{ m}^2$

$\rightarrow R_d = \frac{\alpha}{c}$ (pro $k_e = 1$)



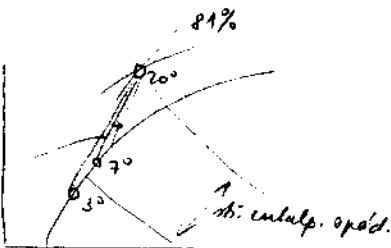
Stav chladícího vzduchu

$T_1 = 20^\circ\text{C}$
 $\varphi_1 = 81\%$

$c_p \text{ vzduchu} = 1020 \text{ J} \cdot \text{kg}^{-1} \cdot \text{K}^{-1}$

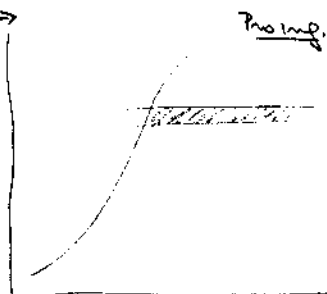
$(T_\phi - T_v) \cdot \xi = T_\phi - T_s$ (pro kladné)

Návod:

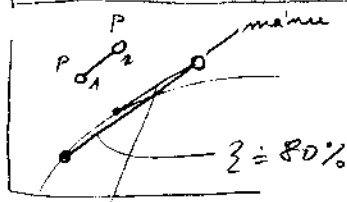


zůstává podstat.

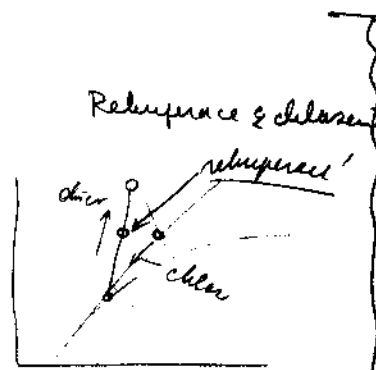
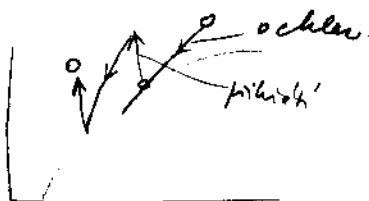
ideál form. dle ξ



Clausius - Clapeyronova rovnice.
(modelování směsí)



$\xi = 100\%$



Co lze dělat se vzduchem.

Fourier Kirchhoffova rovnice:

$$\rho c_p \left(\frac{\partial T}{\partial t} + \vec{v} \cdot \nabla T \right) = \nabla \cdot (\lambda \nabla T) + \sum Q_v$$

- 1) stac. změna teploty v čase
 - 2) proudění a změna teploty
- $T = f(t, \dots)$

- 3) výměna tepla vedením
- 4) ostatní zdroje (vůdění i vnější)

Gaussova věta
divergence = zdrojová
+ upřesnění - dle

$$\int_{S_v} \text{div } \vec{A} dV = \int_{S_v} \vec{A} \cdot d\vec{S}_v$$

Atebnou plochu objem dV

$$\text{div}(\vec{v} \cdot T) = \nabla \cdot (\vec{v} \cdot T) = T \cdot \nabla \cdot \vec{v} + \vec{v} \cdot \nabla T \Rightarrow \vec{v} \cdot \nabla T = \nabla \cdot (\vec{v} T) - T \cdot \nabla \cdot \vec{v}$$

1) posuvný raduch (medicínske ho) raduchá raduchá (kompresní a stlačování)

$$\rho c_p \frac{\partial T}{\partial t} + \rho c_p \nabla \cdot (\vec{v} \cdot T) = \nabla \cdot (\lambda \nabla T) + \sum Q_v$$

$$\int_V \rho c_p \frac{\partial T}{\partial t} dV + \int_V \rho c_p \nabla \cdot (\vec{v} \cdot T) dV = \int_V \nabla \cdot (\lambda \nabla T) dV + \int_V \sum Q_v dV$$

$$\int_V \rho c_p \frac{\partial T}{\partial t} dV + \rho c_p \int_V \nabla \cdot (\vec{v} \cdot T) dV = \int_V \nabla \cdot (\lambda \nabla T) dV + \int_V \sum Q_v dV$$

$$\int_V \rho c_p \frac{\partial T}{\partial t} dV + \rho c_p \int_{S_v} \vec{v} \cdot T d\vec{S}_v = \int_V \lambda (\nabla T)_{S_v} dS_v + Q_v$$

- 1) Kolorimetrická sčítání teploty v objemu
- 2) Ventilace
- 3) Toly (vůdění) impulsem
- 4) zdroj

- 1) vlastní změna teploty daného objemu
- 2) změna při téžné topolog. hranici statorárního objemu (konvekce)
- 3) - - - - - (vedení)
- 4) vnější a vnitřní zdroje (dumy, ...)

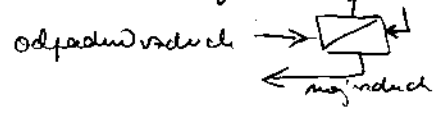
Jednotlivé členy mají na různých budovách různé vlivy

historické objekty - ventilace → 0

nové budovy // pro vedení tepla ven (dvojitá nová budovy s velkou izolací) → 0
mnozí dodávají se vlnitým zónovým

- ventilace - zdroj tepla jsou mnohem větší než zdroj tepla (opatření izolací)

Rekuperční jednotky (výměna tepla (poizotentalpi))



přes bubly (45 m² teplosměnné plochy) cca 70% využít odpadního tepla k ohřevu čerstvého vzduchu

- hygienické normy - tepelná pohoda
- ventilace

Administrativní budova

Teplosměnné jednotky - dobrá regulace, potřebná rychlost se volí (je cca 100x rychlejší než přirozená konvekce)

16 - 2 okna - přírub - odhady

Větší vlny rekurze při primárním odpadním redukcím
 Solární cihla (černý matný povrch; 23cm pod povrchem jsou průduchy)

ČR Solární hmot. 985 W/m² Nyktální cca 300 W/m²

Při teplotě větrání je solární ačt oběh je bypassem

1.7. 2001 o 14:17% zvýšený příjem cena č. energi a nová kama' m zabranění
 cca 14:17% zvýšený příjem cca 14:17% zvýšený příjem

- 1) Hrušev p. Budy Za město (abovně) přísun kámen, vrch cihly
- 2) Konepistka
- 3) Karlštejn

ad 3) cca větrání → velmi vysoká akumulace
 ad 1) novější stavba - dominantní je větrání

kámen - obrovská absorpční kapacita schopnost vody
 opuka až 45% beton - vodotěsný
 → nízká vlhkost → neoptimální → nutnost odvětvit
 ad 1) - rel. vlhkost 80-90% 11g/(m³ vzduchu) vody
 → nutnost klíma jednotky
 - Křivočinná podlahová vytápění
 - celoroční topení

ad 2): celoroční provoz - výhodou

Topení (1g/hod) pro celoroční (zimní provoz) je nutno značně odvětvit
 - spec. bodem ohna
 - na konepist. nemáme
 - problémy vlhkosti a kondenzací → 1. možnost: ohnat - 1. možnost: ohnat

(admet koronie - nová el. plocha do stáží abychom kámen)

Teplota nad 10°C → možnost celoročního provozu

2. křivočinná podlaha → křivočinná podlaha; dvojité skla podlahy keramické
 fólie → až 40% tepla zachová
 - ochrana před slunečním (UV) zářením
 (keramická fólie - izolace i uvnitř tepla)
 - ohna až 40% a 10% absorpce energie slunce sklem fólie!

ad 3) - klimatika jednotka - křivočinná podlaha
 - chlazení v létě, topení v zimě, vlnění a snížení, + 27.11. karel IV
 ② křivočinná podlaha
 ③ křivočinná podlaha 6x2kW konvektory; 5x vent. 6% 300 l/s pro vlnění tepla

10.4.2001
OY

SALANI

[spektrum (let) = strãidlo]

Zãrãivã energie $Q_E [J]$

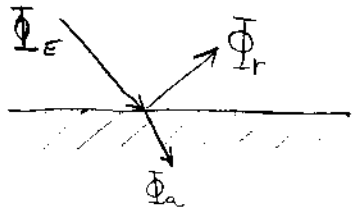
Zãrãivã tok $\Phi_E \frac{dQ_E}{dt} [W]$

Intenzita vyzãarãivã $M_E = \frac{d\Phi_E}{dS}$ ploãna hustota zãrãivãho toku

Planckov zãkon $M_{E\lambda} = \frac{2hc^2 \cdot \pi}{\lambda^5 [\exp(\frac{hc}{\lambda kT}) - 1]}$ $[J \cdot s^{-1} \cdot m^{-2}]$ $h = 6,62 \cdot 10^{-34} J \cdot s$
 $k = 1,38 \cdot 10^{-2} J \cdot K^{-1}$

Spektrãlnã intenzita vyzãarãivã $M_{E\lambda} = \frac{dM_E}{d\lambda}$ $\int_0^\lambda M_{E\lambda} d\lambda =$

Stefan Boltzmannov zãkon $\int_0^\infty M_{E\lambda} d\lambda =$



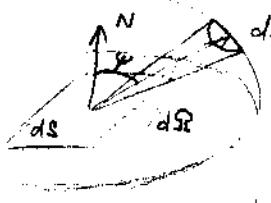
~~$\rho = \frac{\Phi_a}{\Phi_E} = \alpha$~~ $\rho = \frac{\Phi_r}{\Phi_E}$

Emissivita ϵ - pomãrãivã toku vyzãarãivãho vyzãarãivãho telãsa (M_{Eo}) $\epsilon < 1$

$\epsilon = \frac{M_E}{M_{Eo}}$

Zãrãivã: (- strãuktura povrchu, teplota, materiãle)

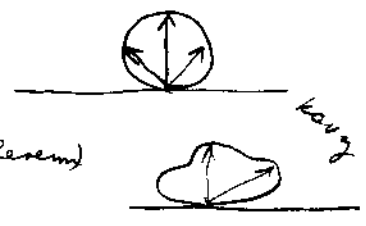
Lambertov cosinusovã zãkon



Ploãta dS vyzãarãuje jãko Lambertovã zãrãivã,

$d^2\Phi = M_{Eo} \cdot dS \cdot \cos\psi \cdot d\Omega$

tok v smãru normãly

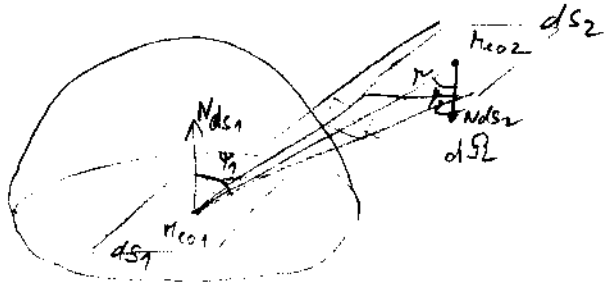


- jãko pãijimã, tak takã vyzãarãuje (analogie sããerãivã telãsem)

Kirchhoffov zãkon: jãko telãso pãijimã, tak takã zãrãivã

$M_{Eo} = \frac{M_{Eo}}{\pi}$

Zobãchãem



$d\Omega = \frac{dS_2 \cdot \cos\psi_2}{r^2}$

nãuvãdãvãce

$d^2\Phi = \frac{M_{Eo1} dS_1 \cdot \cos\psi_1 \cdot \cos\psi_2 dS_2}{r^2}$

dS_1 sãããã dS_2

$d^2\Phi_{dS_2 dS_1} = \frac{M_{Eo2} \cdot dS_2 \cdot \cos\psi_2 \cdot \cos\psi_1 \cdot dS_1}{r^2}$

$$d^2\phi_{ds_1 ds_2} = Meo_1 \cdot \frac{\cos\psi_1 \cdot \cos\psi_2}{\pi n^2} ds_2 ds_1 = Meo_1 \cdot ds_1 \cdot \varphi_{ds_1 ds_2}$$

$$\varphi_{ds_1 ds_2} = \frac{\varphi_{12}}{\varphi_{total}}$$

$$d^2\phi_{ds_2 ds_1} = Meo_2 \cdot \frac{\cos\psi_1 \cdot \cos\psi_2}{\pi n^2} ds_1 ds_2 = Meo_2 \cdot ds_2 \cdot \varphi_{ds_2 ds_1}$$

$\varphi_{ds_1 ds_2}$ - konfiguracni faktor mezi 2 elementarnimi plochami

• Rozsikeno $\varphi_{ds_1 ds_2}$ na $\varphi_{s_1 s_2}$

$$\varphi_{ds_1 ds_2} = \frac{\cos\psi_1 \cos\psi_2}{\pi n^2} ds_2$$

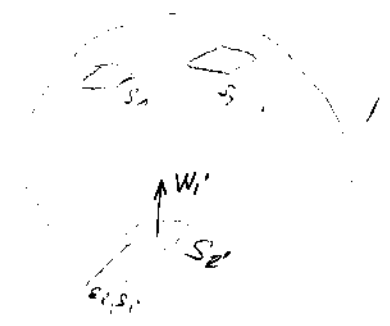
$$ds_2 \rightarrow S_2$$

$$\varphi_{ds_1 S_2} = \int_{S_2} \frac{\cos\psi_1 \cos\psi_2}{\pi n^2} ds_2$$

analogicky $\varphi_{ds_2 S_1} = \int_{S_1} \frac{\cos\psi_1 \cos\psi_2}{\pi n^2} ds_1$

$$\varphi_{S_1 S_2} = \frac{1}{S_1} \iint_{S_1 S_2} \frac{\cos\psi_1 \cos\psi_2}{\pi n^2} ds_2 ds_1$$

iskrenovani dale



Zonkni metoda

- rozdeleno na linearny pocet zonu
- usmerny system n-ploch

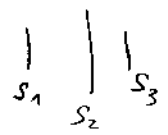
$$[W_{m \times n}] W_i = \epsilon_i Meo_i + (\text{kol dopadajici na plochu odrezaj oel ostatnich}) = \epsilon_i Meo_i + \rho_i H_i$$

$$H_i = \sum_{k=1}^n \varphi_{ki} W_k = \sum_{k=1}^n \varphi_{ki} W_k$$

konvexni plochy na sebe nesahaji

$$H_i = \sum_{k=1}^n \varphi_{ki} \cdot W_k \cdot V_{ki}$$

viditelnost < 0 nebo 1



$$\begin{cases} V_{13} = 0 \\ V_{12} = 1 \\ V_{23} = 1 \end{cases}$$

$$W_i = \epsilon_i Meo_i + \rho_i \sum_{k=1}^n W_k \cdot \varphi_{ki}$$

usobeny stav

$$\begin{bmatrix} 1 - \rho_1 \varphi_{11} & -\rho_1 \varphi_{12} & \dots \\ -\rho_2 \varphi_{21} & 1 - \rho_2 \varphi_{22} & \dots \\ \vdots & \vdots & \ddots \end{bmatrix} \begin{bmatrix} W_1 \\ \vdots \\ W_n \end{bmatrix} = \begin{bmatrix} \epsilon_1 Meo_1 \\ \vdots \\ \epsilon_n Meo_n \end{bmatrix}$$

↑ neznamy

po numeracich odrezek

$g_{12} \cdot S_1 \Rightarrow$ kolik tepla je mitat dodavat, az mita stlaca teplota \rightarrow pro Meo_1

$$g_{12} = W_1 - H_1$$

$$\begin{matrix} 1 - \rho_1 \varphi_{11} & -\rho_1 \varphi_{12} \\ -\rho_2 \varphi_{21} & 1 - \rho_2 \varphi_{22} \end{matrix}$$

$$\begin{bmatrix} 1 - \rho_1 \varphi_{11} & -\rho_1 \varphi_{12} \\ -\rho_2 \varphi_{21} & 1 - \rho_2 \varphi_{22} \end{bmatrix} \cdot \begin{bmatrix} W_1 \\ W_2 \end{bmatrix} = \begin{bmatrix} H_{e01} \epsilon_1 \\ H_{e02} \epsilon_2 \end{bmatrix}$$

Habice \rightarrow Linear Solve [levá, prava] \rightarrow Solve \rightarrow po rovnásoberu a jeho redukované rovnice
 $ax = m$

$$H_1 = \frac{W_1 - \epsilon_1 H_{e01}}{\rho_1}$$

$$q_1 \text{ výst} = ? = W_1 - H_1$$

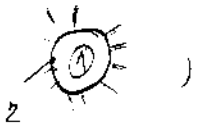
2 nebezpečné rovnice proti sobě $[\varphi_{11} = \varphi_{22} = 0; \varphi_{12} = \varphi_{21} = 1]$

Full Simplify - úplné zjednodušené

Habice = $\{ \{a, b, c\}, \{d, e, f\} \}$ $\begin{bmatrix} a, b, c \\ d, e, f \end{bmatrix}$

$$\rho_1 = 1 - \epsilon_1$$

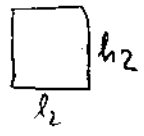
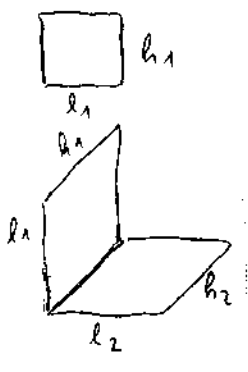
$$\rho_2 = 1 - \epsilon_2$$



$$\varphi_{12} = 1 \quad \varphi_{11} = 0 \quad \varphi_{21} = \frac{S_1}{S_2} \quad \varphi_{22} = 1 - \varphi_{21}$$

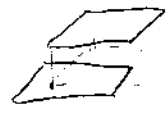
2 kúbelky

N Integrate: $[f, \{x, x_{min}, x_{max}\}]$



$$\varphi_{12} = \int$$

2 parametry
 vektor $\begin{pmatrix} 0 \rightarrow 1 \\ 0 \rightarrow 1 \end{pmatrix} \rightarrow dS \rightarrow$ vektor smernice
 $d\vec{S} = \vec{n}_1 \times \vec{n}_2$



W_1 - vlnenie dopadá H_1 - vlnenie

Součástí optimalizační úlohy

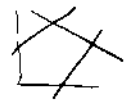
- účelová funkce $f(x)$
- množina proměnných
- množina omezení podmínek $g_i(x) = 0$
 $h_j(x) \geq 0$

Optimalizační algoritmy

- spojitě
 - distribuční
 - celočíselné programování
- bez omezení a s omezením
 - globální optimalizace
 - lineární - simplexová metoda
 - nelineární - komplexní

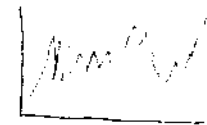
Lineární programování

- omezení funkce účelové podmínkami v určitém oboru



Simplexová metoda (aditivní)

Optimalizace bez omezení = globální optimalizace



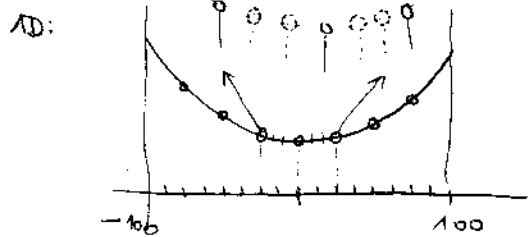
velké množství lokálních extrémů

- většina aplikativních úloh má přibližně podobnou těmto
- Grid Refinement

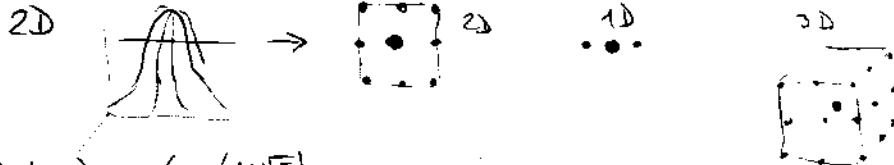
1. Formulace problému
2. Příprava problému pro řešení
3. Výběr vhodné optimalizační metody
4. Tříděbné výpočty s korekcemi úlohy a algoritmu
5. Řešení konkrétního problému a analýza výsledků

GLOBALNÍ OPTIMALIZACE

AGR: Adaptive Grid Refinement:



- rozdělens intervalu na n dílů a vyjádření funkčních hodnot
- výběr nejvhodnějších bodů pro optimalizaci
- > jít na např. 3 nejbližších minima (nedostaneme se do stejného bodu)
- > detekce na třídění a postup

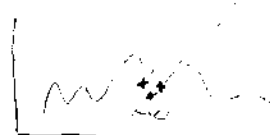


Metoda: Zlatý řez (Golden Ratio) $\phi = \frac{1+\sqrt{5}}{2}$

- Zlatý řez úsečky: - optimální dělení odpovídající estetice (měří systém dělení)

SA: Simulated Annealing

- náhodná generace bodů a jeho okolí
- učení směrem a náhodně jeden z nich
- rozhodování zda šlápnout na další náhorní nebo dolů x_1



pro šlápnutí je třeba se rozhodnout $f = e^{-\frac{E_{old} - E_{new}}{kT}}$

- volba náhodného čísla \rightarrow pokud je větší než pravděpodobnost, pak \rightarrow skočíme

T-parametr \rightarrow $T < T_{max}$

- \rightarrow je-li bod ve směru, pak jdeme posměrem, jinak volíme a porovnáme pravděpodobnost \rightarrow kvotou a hodinu

- zvolíme T

- zvolíme X náhodně

cyklus while ($T < T_{max}$)

- porovnáme s výsledkem

- nahodně vyber 1 nejlepšího bodu x^*

- spočít $\Delta E = E(x) - E(x^*)$

podmínka if $\Delta E > 0$ (ve směru směru) nebo náhodně vygenerované číslo $< e^{-\frac{\Delta E}{T}}$

- pak jednoduše (dosadíme proměnnou) $x = x^*$

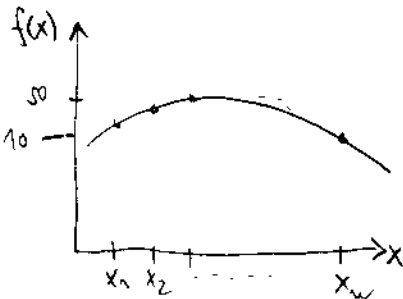
- snížíme teplotu

$$T_n = T \cdot 0,9$$

- pomalu konverguje

- nic se nepožaduje ke smaltioptimalizaci a znalosti program. jazyka

GA: GENETIC ALGORITHM



(x_1, \dots, x_n)
souhrn jedinců = populace

generace = 1 cyklus

elitářní jedinci \rightarrow potomci (trojí novou generaci) 80%

relace - jít

mutace - změna 1 genu 1%

0011	1000
0102	1001
011	1010
1003	1011
1014	1100
1105	1101
1117	
0003	

binární reprezentace jedince

M-jedinci \rightarrow nasazování inakenci

- stochastický princip losování (roulette)

$$x_1 = 01011^5$$

$$x_2 = 11010^4$$

$$x_{12} = 01100^4$$

$$x_{11} = 11101^3$$

$$x_{121} = 0101$$

$$x_{212} = 1100$$

$$f_1 = 40$$

mutace

$$011011 \rightarrow 01111$$

mutace rozboření schéma; elitářní se

schémata

kladná (volitelná) schémata \rightarrow způsobují konvergenci

neg. schéma (01XX) \rightarrow na určitém místě blbě

elitářním \rightarrow exponenciální roste s každou generací počet bladych schémata

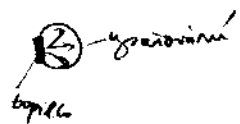
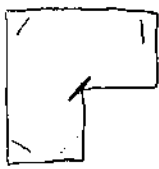
informace se ukládá v genomu, ale nemění se navzájem profinit

rese genů

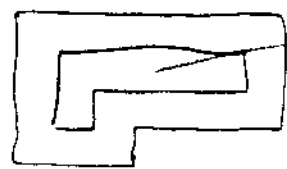
(dobry rodič \rightarrow spaly jedince)

$$f_{\text{fitnes}} = \frac{1}{n} \sum_i x_i - \frac{1}{n} \sum_i (x_i - \tilde{x})^2$$

max. odrazem
max. ekonomičnost



kvadratična penalizacija



zelen'zane' oblast

1) max. toplew 2) ekonomičnost

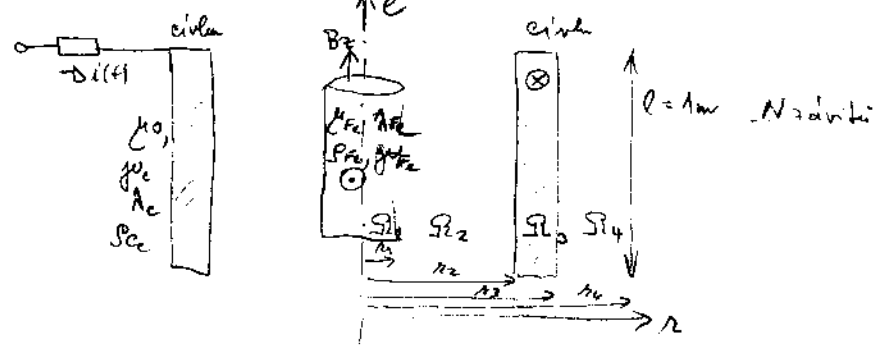
cr. kvadratna genets. algoritmy

INDUKCE - indukcijski obliw Fe val'leclw
- indukcijski delo

24.4.2001
Op

Indukcijski obliw Fe val'leclw - zval'dito x'icw' Almag. a tepelne' pole

→ spojeni rešeni (coupled solving)



Help. → Vector Analysis
↳ Add On → standard packages

$$\text{rot } \vec{H} = \vec{J} \quad \text{rot } \vec{E} = -\frac{\partial \vec{B}}{\partial t} \quad \vec{B} = \mu \vec{H} \quad \nabla \times \frac{\vec{J}}{j\omega \epsilon_c} = -\frac{\partial \vec{B}}{\partial t}$$

Load package → Laplac Laplacian [H[r, theta, z], Cylindrical [r, theta, z]]

Laplacian [H_z[r, theta, z], Cylindrical [r, theta, z]]

← [] - standard packages

$$\vec{B}_z(r, t) \quad \text{Curl}[\{0, 0, H_z[r, t]\}, \text{Cylindrical}[r, \theta, z]]$$

$$\nabla \times \left(\nabla \times \frac{\vec{B}_z}{\mu} \right) = \frac{\partial \vec{B}_z}{\partial t}$$

$$\begin{aligned} B &= B_z(r, t) \\ \mu &= \mu(B, T) \\ j\omega &= j\omega(T) \\ T &= T(r, t) \end{aligned} \quad \text{ve valci}$$

$$\text{Curl} \left[\frac{1}{\mu(r, t)} \text{Curl}[\{0, 0, \frac{B_z[r, t]}{\mu(r, t)}\}, \text{Cylindrical}[r, \theta, z]] \right] \text{Cylindrical}[r, \theta, z]$$

Full Simplify

Ohravjone podmihrly
symetrie

$B(0) = 0$

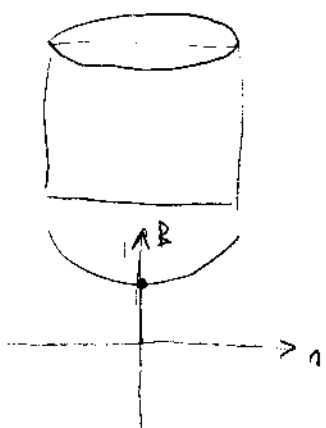
$\mathcal{P}_1: \frac{\partial B}{\partial t} = 0 \quad \text{prava} = -D[B_z(r,t)]$

mean $\mathcal{P}_2: \frac{B}{\mu} = \begin{cases} r=R_1 \text{ (Beriin'ade } \Rightarrow H) \\ \frac{N}{l} \cdot i(t) = N' \cdot i'(t) \end{cases}$

$\mathcal{P}_2: \frac{B}{\mu} =$

ci'vka: $\mathcal{P}_3: \frac{B_z}{\mu} = N' \cdot i(t) \frac{R_3 - r}{R_3 - R_2} \rightarrow$

$\mathcal{P}_4:$



$H = R_1 (R_2)$
B nom je noma
Hecine' se zadkonira'
B ne valci noma
na ponclen $\frac{B_z}{\mu} = H_z$

otraj'cing
 H_z



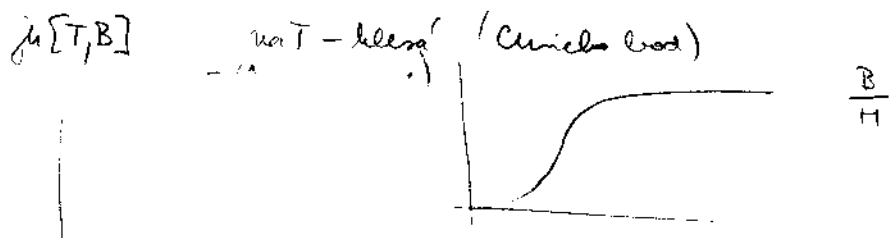
$\oint \vec{H} \cdot d\vec{l} = l \frac{B_z}{\mu} = N I a$
 $\frac{B_z}{\mu} = \frac{N'}{l} \cdot I a$
parametri'cing

ci'vka noma feromagnethica

Prof. Dalkiel: vodicen poadu homogeni \rightarrow B ul'va' lala, ze vaku je 0

- (draka un'it) p'obiti B

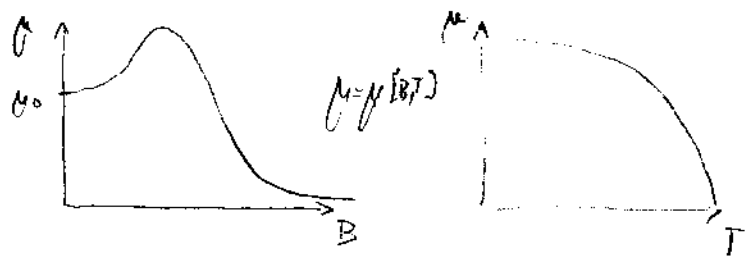
B upotred h't noma!
se skimp'lehen
bez --



\rightarrow am'iceno

$\mu_{Fe} = [1 + (\mu_{20}(B) - 1) \cdot \varphi(T)]$

- plocha, k'ura s nos'lanec Ta B
plasi' se k' noma



Teplota: Formu Kirchhoff

$\nabla(\lambda \nabla T)$
(T) (1, t)

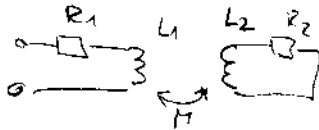
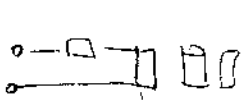
$$V(\lambda, \nu) = \dots - \gamma_{Fe} E \quad - \gamma_{Fe} \left(\frac{\partial \nu}{\partial z} \right) \quad - \frac{1}{\gamma_{Fe}^2} \left(\frac{\partial \nu}{\partial z} \right)^2$$

na povrch $\rightarrow d_1 \epsilon_1$

z povrch volicit sa povrch cing $\lambda(T)$

$$- 1 \frac{\partial T}{\partial z} = \alpha (T_1 - T_2) + \epsilon (T_1 - T_3)$$

Poc. podm. $\forall \text{ čas } t = 0$ teleso mato ucitau teplotu $\frac{\partial T}{\partial z} = 0$



$$\frac{d\phi}{dt} = L_0 \frac{di}{dt} + \frac{d\phi}{dt}$$

$$\phi = (\text{v lin. casti} + \text{indukcia}) \quad u(t) = L \cdot i_1 + \frac{d\phi}{dt}$$

$$= L_0 i_1 +$$

$$u(t) = L_0 i_1 + L_0 \cdot \frac{di}{dt} + \frac{d\phi}{dt} + k \cdot \frac{di}{dt}$$

kde je co a co je co

mdin a: mcopy a: soubor

repro λ, T_i jak to vsmila' \rightarrow obvodova rovnice \rightarrow matheusti ka

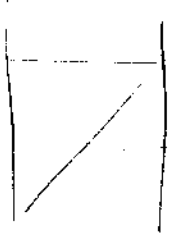
\rightarrow matheusti ka
NDSolve
neisi' dif. rci a parcialne rce
dobromof

$i(t) \Rightarrow i(t_1, t)$ (ke jen kelid, polud je i na z mesavisti)

\rightarrow behove' obruj. podmuj, aj ko fto mesavisti' na z (mesavisti' se viali, ze je to vemit' mesavisti')

zed' (malovodiva' \rightarrow velkej' opid)

λ - velke' \rightarrow homogon' pal

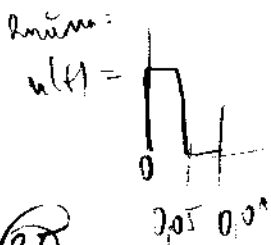


λ velke' \rightarrow typl' kole je horst. po cele' delce stiny $\lambda \rightarrow \infty$

λ male' (pauz \rightarrow model jako Fourier kirschhoff) Kontrola

Dito - n molekulu \rightarrow kprava, potes vico ypoctat

Molekul Nedele. nb
jed 9. n ETZ



vlaskosti horu

Standard Packages / Miscellaneous / Chemical Elements



11.10.10m [1000. W] 11.10.10m [1000. W] 1000m

22.5.2001
13

práce - vstřebá k energetice - k ČEZu

www.evul.cz

usávéška minulý týden příležitosti do zítřka

2. připravit pro sborník 1 ~~z~~ studium
3. portál 1x1m

finále 27/26.6. v ČEZu

mítizová (S zobrazení) → zájma zít do energet. mř. i geol. ústředí, ...

- Apešně energetické zařízení

EXKURSE NEBUDOU

že přístě předtermínem
14.30 zde

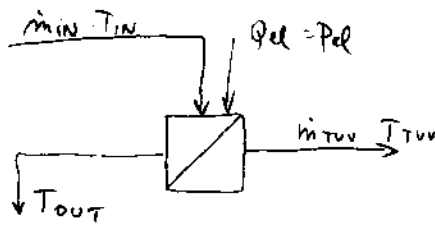
západ automaticky

$T_{TUV} = 60^\circ\text{C}$
 $T_R = 5^\circ\text{C}$
 $T_{IN} = 35^\circ\text{C}$

$\dot{m}_{in} = 20 \text{ kg} \cdot \text{s}^{-1}$

$C_p = 4186 \text{ kJ} \cdot \text{kg}^{-1} \cdot \text{K}^{-1}$

$E = 4$



$$\dot{m}_{in} \cdot C_p \cdot (T_{IN} - T_{OUT}) + Q_{el} = \dot{m}_{TUV} \cdot C_p \cdot (T_{TUV} - T_R)$$

$$E \cdot Pel = \dot{m}_{TUV} \cdot C_p \cdot (T_{TUV} - T_R)$$

(T_R - protected)

Obe rovnice \Rightarrow solve

Palettes: E - n-krát občasť E
 E - na palette $n <, > \dots$ je element (E)

T_R - Trace of the matrix or tensor (source from na hlavni diagonale)

3. úroveň $\dot{m}_{TUV}, T_{OUT}, Pel \rightarrow$ čo dožadat \rightarrow řešení \rightarrow pro: $T_{OUT} = 4^\circ\text{C}$ $\dot{m}_{TUV} = 15 \text{ kg/s}$ $Pel = 865 \text{ kW}$

e) pro: $\dot{m}_{TUV} =$

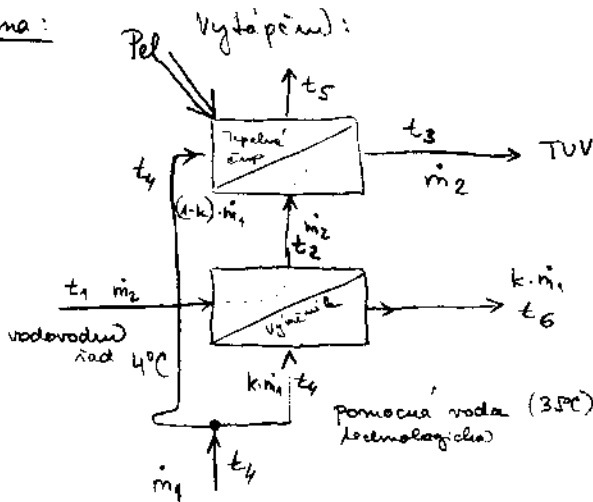
$0,26 \text{ kg} \cdot \text{s}^{-1}$ 11 kW

1) zohľadniť pomocnú vodu \rightarrow nezmäzkať \Rightarrow
 \Rightarrow pel odber $15 \text{ kg} \cdot \text{s}^{-1}$ a nepat leny:

$\dot{m} \approx 0,26 \text{ kg} \cdot \text{s}^{-1}$ $T = 40^\circ\text{C}$ - obvyčajná sprcha

(Zk. príklad popis čerpadla rovnice)

Schéma:



veľký únik a post-proud \rightarrow ochlas.
 voda na 4°C
 NE (z 4°C nemá smysl nič doštrávať!)

- každý 35°C vody na priedelie a čisti do tepl. čerpadla

- volba k - lepší výkon za isté
 - je-li voda dost k nemerime a do obou libovolně

Teorie obvodu - popis Metoda Úspěl Napětí out(+) in(-)

tepelné čerpadlo:

$$-(1-k)\dot{m}_1 \cdot C_p \cdot t_4 - Pel + (1-k)\dot{m}_1 \cdot C_p \cdot t_5 + \dot{m}_2 \cdot C_p \cdot t_3 - \dot{m}_2 \cdot C_p \cdot t_2 = 0$$

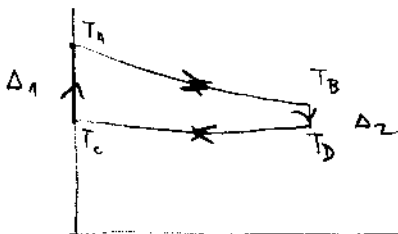
Výměník: - energetický zisk vidy

$$-\dot{m}_1 \cdot t_1 \cdot C_p - k \cdot \dot{m}_1 \cdot t_4 + \dot{m}_2 \cdot C_p \cdot t_2 + k \cdot \dot{m}_1 \cdot C_p \cdot t_4 = 0$$

(C_p vykrátit)

$$E \cdot Pel = (t_3 - t_2) \cdot \dot{m}_2 \cdot C_p$$

Rovnice výměníku $P = k \cdot S \cdot \frac{\Delta_1 - \Delta_2}{\ln \frac{\Delta_1}{\Delta_2}} = k \cdot S \cdot \left(\frac{\Delta_1 + \Delta_2}{2} \right) = \frac{T_A + T_B - T_C - T_D}{2} \cdot k \cdot S$



k číselní měřítková rovnice

výkon

$-t_1$ nejvyšší = T_A
= T_B

$\frac{t_3 - t_1}{P_{el}} \cdot c_p \cdot m_2$ - reálný faktor

kontrola výsledného řešení, zda je fyzikálně reálné

- lineární řešení a kontrola v reálném světě

13.3.2001
03

List: {a, b} a, b - mohou být 0 a 1

Part [List, 2] First [List] Last [List]

no, 1, 1, 1 x

list: Table [expr, {i, max}] - není stejné
Table [expr, {i, i, max}]
Table [expr, {i, i, min, max}]

Hue - grafický objekt, → Hue 0 = Hue 1 není to - bang duty

PlotStyle → Hue [3] Col = Table [Hue [i], {i, 0.5, 0.5}]
Dashing (čárka uhm)
RGB (color) CMY
Table: RGB [i, j, k] Hierarchy i = 0 to 1 (krok 0,1)

Flatten - vyrovnání (dať se sebe)

Matematika = matice Determinant, Eigenvalue, Tisk matice, Matrix Form

generace matice, vektor a matice A $A\vec{x} = \vec{b}$ řešení rovnice

matice = Table [Riterativy] Eigenvalues Linear Solve [m, b]

Podmíněnost matice (Turingova čísla 2)

Násobení matice (meka) mat1. mat2 Transpose, Inverse

20.3.2001
04

Packages

Linear Algebra - Matrix manipulation

Table [Random, {5}, {5}] 9464 insdaps

(Seed [Random]) - souhr. čísel náhodně

Funkce: $f(x) = \sin[x]$ podmínkovaný napověděl

x - vlt. vs. frekvence \sin

Funkce - předání podmínkovanému $2 \rightarrow 4$. předání např. 5

$3 + 2 \tanh\left[\frac{x-5}{0.1}\right]$

chr

2/; $f[x_0] = 3,5/; x=5$ $f[x] = 2/; x < 5$

$f_i =$ *hydroscendare pe panta (Pant)*
uvel def. vrbiclanu panta

haddu fce bnt Tgl.

Table $[x; f(x)]$

Interpolace:

05 - neflo

3.4.2001
06

diff. nce \rightarrow *not solve*

nce haddu: $\varphi'' + k_1 \cdot \varphi' + k_2 \cdot \sin[\varphi] = 0$
- vrbiclanu zualnu yiflu a ychlost

$y'[t]$ $D[D[y[t]], t]$

for pochu $y'(0) = 1$

2 nce 1. iadlu

$\{y[t] \rightarrow$ *Interpolating Function ...* $\}$
Prisam

$Res = NDSolve [...],$

$Plot[Evaluate[y[t], Res], \{t, 0, 3\}]$

y' - *derivate*

$\varphi = \dots \varphi'$ *za* φ'' *redosadi* φ'

$ParametricPlot[\{f_1, f_2\}, \{t, t_{min}, t_{max}\}]$

$y'' + k_1 y' + k_2 y = 0$

1) $z = y'$ 2) $z' + k_1 z + k_2 y = 0$

10.4.2001
07

- *za prednastava*

17.4.2001
08

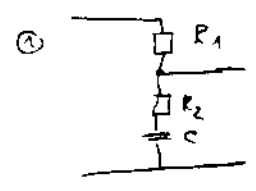
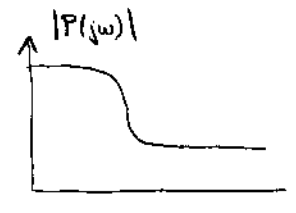
$[f(x), \{x, x_0\}, \{y, y_0\}]$
Find Minimum $[f, \{x, x_0\}]$

lokalno minimum f; parametru x od
racateenhu bodu x_0

Maximum: hledanu funkci y nasotime
-1

Prilad: Manli obvodu s difinovanu pismem obvod:
- vola topologie obvodu

\rightarrow *pisus* $\frac{1}{\frac{1}{j\omega C} + R_2} = \frac{1 + j\omega C R_2}{1 + j\omega C(R_1 + R_2)}$ $\Rightarrow \sqrt{\frac{1 + \omega^2 R_2^2 C^2}{1 + \omega^2 C^2 (R_1 + R_2)^2}}$



$fitness = \int_{w_{min}}^{w_{max}} (f(w) - \sqrt{\dots})^2 dw$

redil raduhou \rightarrow snaha zuelo radu vrbice

CV3

minimum

optimalizace prubelu $f(x) \dots$